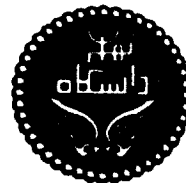


دانشگاه تهران



۱۳۲۸ / ۱۱ / ۱۵

طراحی و پیاده سازی محرکه موتور الایی سه فاز و
کنترل سرعت موتور به روش جهت دهنی شار روتور

توسط : شهریار زند

استاد راهنمای : دکتر شاهرخ فرهنگی

اساتید مشاور : مهندس اسحاق ثابت مرزوقی

دکتر صادق واعظ زاده

پایان نامه جهت دریافت درجه کارشناسی ارشد

گرایش : برق - قدرت

دانشکده فنی

تابستان ۱۳۷۸

۲۱۰۱۳

طراحی و پیاده‌سازی محرکه موتور القائی سه‌فاز و کنترل سرعت موتور به روش جهت‌دهی شار روتور

توسط : شهریار زند

- ۱۴۴۹

پایان‌نامه جهت دریافت درجه کارشناسی ارشد

رشته : مهندسی برق - قدرت

از این پایان‌نامه در تاریخ دوشنبه ۱۲ مهرماه ۱۳۷۸ در مقابل هیأت
محترم داوران دفاع به عمل آمد و با نمره ۲۰ مورد تصویب قرار گرفت.

سرپرست تحصیلات تکمیلی دانشکده فنی : دکتر محمد علی بنی‌هاشمی
مدیر گروه آموزشی : دکتر محمود کمره‌ای

سرپرست تحصیلات تکمیلی گروه : دکتر محمود کمره‌ای

استاد راهنمای : دکتر شاهرخ فرهنگی

استاد مشاور : دکتر صادق واعظ‌زاده

استاد مشاور : مهندس اسحق ثابت مرزووقی

عضو هیأت داوران : دکتر حسین محسنی

عضو هیأت داوران : دکتر سعید افشارنیا

۲۰۱۳

تقدیم به :

آزمایشگاه محرکه های الکتریکی
گروه برق دانشکده فنی
دانشگاه تهران

تقدیر و تشکر:

در اینجا لازم میدانم، از زحمات و راهنمایی های استاد ارجمند جناب آقای دکتر فرهنگی در طول انجام این پروژه تشکر و قدردانی نمایم . همچنین از زحمات اساتید مشاور محترم جناب آقای دکتر واعظ زاده و مهندس ثابت و هیأت محترم داوران جناب آقای دکتر محسنی و دکتر افشارنیا سپاسگزارم.

چکیده:

در گذشته و در کاربردهایی که نیاز به دور متغیر و دینامیک بالا بود از موتورهای DC استفاده

می‌گشت. علت استفاده از این نوع موتور در صنعت سادگی کنترل مستقل شار و کشتاور بود. در

دو دهه اخیر با پیشرفت الکترونیک قدرت و سیستمهای کنترل میکروپروسسوری موتورهای

القایی توانسته اند جایگزینی مناسب برای موتورهای DC گردند. یکی از روش‌های پیشرفتی ای که

در صنعت برای کنترل موتور القایی در کاربردهای با دینامیک بالا بکار گرفته است روش جهت

دهی شار موتور، می‌باشد. در این رساله پیاده سازی این روش جهت موتور القایی مورد بررسی

قرار گرفته و کل سیستم کنترل شبیه سازی شده است.

در شبیه سازی سعی شده است تا حد امکان کلیه عوامل غیر ایده آل نظیر تاخیرها و نویزها

منظور شوند و پایداری و مقاومت سیستم نسبت به این عوامل بررسی گردد. در مواردی که

حساسیت سیستم نسبت به این عوامل زیاد می‌باشد، با اصلاحاتی در مدار کنترل، مقاومت

سیستم نسبت به آنها افزایش داده شده است. در نهایت کل سیستم به منظور ساخت یک ایستگاه

آزمایشی جهت بررسی عملکرد موتور القایی برای آزمایشگاه محرکه‌های الکتریکی بر روی یک

موتور القایی ۱/۱ کیلووات و به توسط میکروکنترلر KC 80196 پیاده سازی شده است.

فهرست مطالب

شماره صفحه

۱

فصل اول : مقدمه

۶	فصل دوم : مروری بر انواع محرکه های موتورهای القائی	
۶	-۱-۲	مقدمه
۶	-۲-۲	معادلات موتور القائی
۱۱	-۳-۲	روشهای کنترل عددی موتور القائی
۱۴	-۴-۲	روشهای کنترل برداری موتور القائی
۱۴	-۱-۴-۲	مقدمه
۱۶	-۲-۴-۲	روش جهت دهنی شارژتور

۲۳	فصل سوم : طراحی مدار قدرت و کنترل	
۲۳	-۱-۳	طراحی مدار قدرت
۲۳	-۱-۱-۳	محاسبه پارامترهای موتور القائی
۲۵	-۲-۱-۳	کلیدهای قدرت
۲۶	-۳-۱-۳	اینورتر قدرت
۲۷	-۴-۱-۳	مدار ضربه گیر
۳۰	-۲-۳	طراحی مدار کنترل
۳۰	-۱-۲-۳	روشهای کلیدزنی اینورتر
۳۳	-۲-۲-۳	مدار شفت اینکوادر
۴۰	-۳-۲-۳	آشنائی با میکرو کنترلر 80196
۴۴	-۴-۲-۳	مدار میکرو کنترلر
۴۷	-۵-۲-۳	مدار تولید زمان سکون اینورتر

۴۹	فصل چهارم : شبیه سازی سیستم
۴۹	۴-۱- مقدمه
۵۰	۴-۲- بلوک دیاگرام سیستم جهت دهنی شارژتور
۵۲	۴-۳- بلوک کنترل شارژ و کشتاور
۵۳	۴-۴- تعیین ضرائب کنترلرهای
۵۵	۴-۵- بلوک محدودساز جریان مغناطیسیس کننده و کشتاور
۵۶	۴-۶- بلوک مدل موتور القائی و تبدیل مختصات
۵۸	۷-۴- بلوک اینورتر
۶۱	۸-۴- بلوک زمان سکون اینورتر
۶۳	۴-۹- بلوک یکسوساز قدرت
۶۳	۴-۱۰- بلوک نمونه برداری و نویز جریان موتور
۶۴	۴-۱۱- بلوک نویز اندازه گیری سرعت موتور
۶۶	فصل پنجم : بررسی عملکرد سیستم
۶۶	۵-۱- عوامل موثر بر مجزا سازی و ریپل کشتاور
۶۷	۵-۱-۱- تاخیر اینورتر
۶۸	۵-۱-۲- زمان سکون اینورتر
۷۰	۵-۱-۳- پارامترهای موتور
۷۳	۵-۱-۴- نویز سیگنال اندازه گیری جریان موتور
۷۴	۵-۱-۵- نویز سیگنال اندازه گیری سرعت موتور
۷۶	۵-۱-۶- سرعت نمونه برداری جریان موتور
۷۷	۵-۱-۷- فرکانس کلید ذنی
۷۸	۵-۱-۸- ریپل ولتاژ یکسوساز
۷۹	۵-۱-۹- تغییرات ولتاژ سه فاز و رودی
۸۱	۵-۱-۱۰- جمع بندی عوامل موثر بر مجزا سازی
۸۲	۵-۱-۱۱- جمع بندی عوامل موثر بر ریپل کشتاور

۸۳	-۲-۵ مقایسه عملکرد اینورترها
۸۴	-۳-۵ عملکرد سیستم در بارها و سرعتهای مختلف
۸۴	-۱-۳-۵ عملکرد در سرعتهای پائین
۸۵	-۲-۳-۵ عملکرد در تغییر سرعتهای شدید و متوالی
۸۶	-۳-۳-۵ عملکرد در ناحیه تضعیف میدان
<hr/>	
۸۸	فصل ششم : پیاده سازی مدار قدرت و کنترل
۸۸	-۱-۶ شمای کلی سیستم
۸۹	-۲-۶ مدار قدرت
۹۱	-۳-۶ مدار راه انداز کلیدهای قدرت
۹۴	-۴-۶ مدار اندازه گیری جریان موتور
۹۶	-۵-۶ مدار شفت اینکوادر و زمان سکون اینورتر
۹۸	-۶-۶ مدار میکروکنترلر
۹۸	-۷-۶ تصاویر محركه موتور الالقایی
۱۰۳	-۸-۶ نتایج عملی
<hr/>	
۱۰۶	فصل هفتم : نتیجه گیری و پیشنهادات

<u>شماره صفحه</u>	<u>فهرست شکلها</u>
۱۲	- ۱-۲ کنترل عددی حلقه باز ولت بر هر تر
۱۳	- ۲-۲ کنترل عددی حلقه بسته
۱۸	- ۳-۲ اصول کلی روش جهت دهن میدان
۲۰	- ۴-۲ مدل شار در روش جهت دهن شار رتور
۲۱	- ۵-۲ کنترل شار رتور با تغذیه جریان
۲۳	- ۱-۳ مدار معادل تکفارز موتور القائی
۲۸	- ۲-۳ مدار ضربه گیر و شکل موجهای ولتاژ و جریان کلید قدرت
۳۱	- ۳-۳ جریان موتور در کنترلر جریان هیسترزیس
۳۲	- ۴-۳ جریان موتور در کنترلر جریان روشن و خاموش سنکرون
۳۵	- ۵-۳ شیارهای شفت اینکوادر
۳۶	- ۶-۳ سیگنالهای شفت اینکوادر
۳۷	- ۷-۳ لبه های اضافه در سیگنال شفت اینکوادر
۳۷	- ۸-۳ مدار تعیین سرعت موتور شفت اینکوادر
۳۹	- ۹-۳ مدار تعیین جهت موتور شفت اینکوادر
۴۰	- ۱۰-۳ شکل موجهای مدار شفت اینکوادر
۴۱	- ۱۱-۳ بلوك دیاگرام ساختار داخلی میکرو کنترلر 80196
۴۵	- ۱۲-۳ بلوك دیاگرام کلی محاسبات میکرو کنترلر
۴۷	- ۱۳-۳ مدار تولید زمان سکون اینورتر
۵۰	- ۱-۴ بلوك دیاگرام جهت دهن شار رتور
۵۲	- ۲-۴ بلوك دیاگرام کنترل شار و گشتاور
۵۴	- ۳-۴ پاسخ کنترلرهای سرعت، گشتاور و شار
۵۵	- ۴-۴ بلوك دیاگرام محدودساز جریان مغناطیس کننده رتور
۵۶	- ۵-۴ بلوك دیاگرام محدودساز گشتاور
۵۷	- ۶-۴ بلوك دیاگرام موتور القائی در مختصات دوار
۵۸	- ۷-۴ بلوك دیاگرام مبدل مختصات

۵۹	-۴-۸- بلوک دیاگرام اینورتر مدولاسیون عرض پالس
۶۰	-۴-۹- بلوک دیاگرام اینورتر با باند هیسترزیس
۶۰	-۴-۱۰- بلوک دیاگرام اینورتر روشن و خاموش سنکرون
۶۱	-۴-۱۱- بلوک دیاگرام کنترل روشن و خاموش سنکرون
۶۲	-۴-۱۲- زمان سکون در اینورتر
۶۲	-۴-۱۳- بلوک دیاگرام تولید زمان سکون
۶۳	-۴-۱۴- بلوک دیاگرام یکسوساز قدرت
۶۴	-۴-۱۵- ولتاژ یکسوسوده
۶۵	-۴-۱۶- بلوک دیاگرام نویز جریان موتور
۶۵	-۴-۱۷- بلوک دیاگرام نمونه برداری جریان موتور
۶۵	-۴-۱۸- بلوک دیاگرام نویز سرعت موتور
۶۵	-۴-۱۹- شکل موج نویز سیگنال سرعت موتور
۶۹	-۵-۱- عملکرد سیستم در برابر تأخیر اینورتر
۷۱	-۵-۲- عملکرد سیستم در برابر زمان سکون
۷۵	-۵-۳- عملکرد سیستم در برابر نویز سیگنال سرعت موتور
۸۰	-۵-۴- عملکرد سیستم با ریپل یکسوساز
۸۵	-۵-۵- بهبود عملکرد در سرعتهای پائین با تنظیم کنترلرها
۸۶	-۵-۶- عملکرد موتور در تغییر سرعتهای شدید و متوالی
۸۷	-۵-۷- عملکرد سیستم در ناحیه تضعیف میدان
۸۸	-۶-۱- بلوک دیاگرام کلی مدار محرکه موتور القائی
۸۹	-۶-۲- مدار یکسوساز قدرت
۹۰	-۶-۳- مدار اینورتر قدرت
۹۲	-۶-۴- مدار راه انداز کلیدهای قدرت
۹۳	-۶-۵- مدار تغذیه راه اندازی کلیدهای قدرت
۹۵	-۶-۶- مدار اندازه گیری جریان موتور
۹۶	-۶-۷- مدار کلی شفت اینکوادر
۹۷	-۶-۸- مدار تولید زمان سکون اینورتر

۹-۶- تصویر کلی محرکه موتور الای

۹۹

- ۱۰۰- تصویر داخل دستگاه
- ۱۰۱- تصویر مدار اندازه گیری جریان موتور و شفت اینکودر
- ۱۰۲- تصویر مدار ضربه گیر و راه انداز کلیدهای قدرت
- ۱۰۳- شکل موج جریان موتور
- ۱۰۴- شکل موج جریان موتور در حالت افزایش و کاهش سرعت
- ۱۰۴- شکل موج ولتاژ یکسوسه
- ۱۰۴- شکل موج مدار شفت اینکودر
- ۱۰۵- شکل موج مدولاسیون عرض پالس مدار میکروکنترل کننده
- ۱۰۵- شکل موج مدولاسیون عرض پالس مدار راه انداز کلیدهای قدرت

فهرست جدولها

شماره صفحه

۶۸	-۱-۵ تأثیرات تاخیر اینورتر
۷۰	-۲-۵ تأثیرات زمان سکون اینورتر
۷۲	-۳-۵ تغییرات اندوکتانس موتور
۷۳	-۴-۵ تأثیرات تغییر مقاومت موتور
۷۴	-۵-۵ تأثیرات نویز جریان اندازه گیری شده موتور
۷۶	-۶-۵ تأثیرات نویز سرعت اندازه گیری شده موتور
۷۷	-۷-۵ تأثیرات سرعت نمونه برداری جریان
۷۸	-۸-۵ تأثیرات فرکانس کلیدزنی
۷۹	-۹-۵ تأثیرات ریپل یکسوساز
۸۱	-۱۰-۵ تأثیرات ولتاژ سه فاز ورودی
۸۴	-۱۱-۵ عملکرد محرکه در سرعتهای کم

فهرست علائم و اختصارات

مقدار قدر مطلق	-abs
ترانزیستور دوقطبی	-BJT
زاویه بین محور رتور و استاتور	-BR
پالس ساعت -Clock = CLK	
مقدار ثابت	-Const
ضریب قدرت	-Cos φ
واحد پردازش سکون ذی	-CPU
دیود قدرت	-D
محور مختصات حقیقی	-d
جریان مستقیم	-DC
مختصات متعماد	-dq
پردازش سیگنالهای دیجیتال	-DSP
تاخیر یافته سیگنال شفت اینکودر	-du ₂₁ = du ₁₁
حافظه فقط خواندنی قابل برنامه ریزی الکتریکی	-EEPROM
حافظه فقط خواندنی قابل برنامه ریزی پاک شونده	-EPROM
فرکانس کلیدزنی اینورتر	-F _{SW}
فرکانس سیگنال شفت اینکودر	-Fu ₂₁ = Fu ₁₁
تریستور خاموش شونده با گیت	-GTO
ورودی سریع	-HSI
ورودی و خروجی سریع	-HSIO
خروجی سریع	-HSO
مولفه حقیقی جریان استاتور	-I _{1d}
مولفه موهومی جریان استاتور	-I _{1q}
مولفه حقیقی جریان رتور	-I _{2d}
مولفه موهومی جریان رتور	-I _{2q}
جزء موهومی عبارت	-I _m

جريان خط تغذیه سه فاز	$-I_{line}$
جريان فاز تغذیه سه فاز	$-I_{phase}$
فاز و جریان استاتور در مختصات استاتور	$-I_1^s$
فازور جریان رتور در مختصات رتور	$-I_2^R$
جریان آرمیچر موتور DC	$-a$
جریان مغناطیس کننده رتور	$-i_{mr}$
جریان مغناطیس کننده رتور نامی	$-i_{mr-n}$
جریان مغناطیس کننده رتور مرجع	$-i_{mr-ref}$
ممان اینرسی	$-J$
$\sqrt{-1}$	$-j$
ضریب ثابت	$-K$
سیگنال تعیین جهت گردش موتور	$-L/R$
اندوکتانس استاتور	$-L_1$
اندوکتانس رتور	$-L_2$
اندوکتانس پراکندگی رتور	$-L_a$
اندوکتانس پراکندگی استاتور	$-L_b$
اندوکتانس متقابل موتور	$-M$
کشتاور تولیدی موتور	$-M_{mi}$
کشتاور ماسیمم موتور	$-M_{m-max}$
کشتاور مرجع موتور	$-M_{m-ref}$
کشتاور بار	$-M_w$
سرعت نامی موتور	$-N_n$
کنترلر تناسبی، انگرالی	$-PI$
توان آزمایش رتور قفل موتور	$-P_{lr}$
توان آزمایش بی بار موتور	$-P_{nl}$
توان نامی موتور	$-P_n$
ترانزیستور قدرت اثر میدان	$-P_{mos}$
تلفات توان مقاومتی	$-P_R$

مدولاسیون عرض پالس	-PWM
کلید قدرت	-Q
مقاومت استاتور	= $R_s=R_1$
مقاومت رتور	= $R_r=R_2$
حافظه بادستیابی اتفاقی	-RAM
مدار ضربه کیر با مقاومت و خازن و دیود	-RCD
زمان سکون مینیمم اینورتر	- T_{dmin}
زمان سکون ماکسیمم اینورتر	- T_{dmax}
گشتاور نامی موتور	- T_n
زمان روشن ماندن کلیدقدرت	- T_{on}
زمان خاموش شدن کلید قدرت	- T_{off}
مؤلفه حقیقی ولتاژ استاتور	- U_{1d}
مؤلفه موهومی ولتاژ استاتور	- U_{1q}
مؤلفه حقیقی ولتاژ رتور	- U_{2d}
مؤلفه موهومی ولتاژ رتور	- U_{2q}
سیگنال شفت اینکوادر	- $U_{a2}-U_{a1}$
سیگنال ریست شفت اینکوادر	- U_a
فازور ولتاژ استاتور در مختصات استاتور	- U_1^S
فازور ولتاژ رتور در مختصات رتور	- U_2^R
فازور ولتاژ استاتور در مختصات دلخواه	- U_1^K
فازور ولتاژ رتور در مختصات دلخواه	- U_2^K
ولتاژ خازن	- V_C
نصف ولتاژ باس DC	- V_{DC}
ولتاژ خط تغذیه سه فاز	- V_{line}
ولتاژ فاز تغذیه سه فاز	- V_{phase}
امپدانس آزمایش بین بار موتور	- Z_{nl}
امپدانس آزمایش رتور قفل موتور	- Z_{lr}